



مقاله پژوهشی

## تعیین آلوتیپ ژن *S-RNase* و ناحیه پیشبر ژن *MdMYB10* در چند ژنوتیپ سیب (*Malus spp.*)

معصومه وکیلی قرطاول<sup>۱</sup> - ناصر مهنا<sup>۲\*</sup>

تاریخ دریافت: ۱۳۹۸/۰۹/۱۴

تاریخ پذیرش: ۱۴۰۰/۰۲/۱۱

### چکیده

سیب (*Malus spp.*) یکی از مهم‌ترین درختان میوه معتدله است. رنگ گوشت میوه سیب، از سفید تا قرمز متغیر است و تجمع مقدار بالایی از آنتوسیانین باعث قرمز بودن گوشت میوه آن می‌باشد، چنین افزایشی در مقدار آنتوسیانین در بسیاری از موارد به دلیل بیان بالای ژن *MdMYB10* در بسیاری از بافت‌ها از جمله گوشت میوه است، با این وجود، در مواردی، یک مکان ژنی پیوسته با آلل *S<sub>3</sub>* مکان ژنی *S-RNase*، به عنوان مسئول قرمزی گوشت میوه در بعضی از ژنوتیپ‌ها پیشنهاد شده است. برای بررسی سازوکار قرمز بودن رنگ گوشت میوه در برخی ژنوتیپ‌های محلی، استخراج DNA ژنومی از نمونه‌های برگی بدست آمده از ۹ ژنوتیپ سیب با گوشت قرمز و گوشت سفید انجام شد و آلوتیپ آنها از نظر ناحیه پیشبری ژن *MdMYB10* و نیز وجود آلل *S<sub>3</sub>* در مکان ژنی *S-RNase* با استفاده از تکنیک واکنش زنجیره‌ای پلی‌مرز برای تکثیر با آغازگرهای اختصاصی هر ژن و الکتروفورز ژل آگارز قطعات تکثیر شده، مورد ارزیابی قرار گرفت. نتایج این پژوهش نشان داد که ژنوتیپ‌های گوشت سفید در ناحیه پیشبری ژن *MdMYB10* فاقد آلل *R<sub>6</sub>* بوده و همگی هموزیگوت *R<sub>1</sub>R<sub>1</sub>* تشخیص داده شدند. در حالی که، ارقام سیب گوشت قرمز دارای حداقل یک آلل *R<sub>6</sub>* در ناحیه پیشبری بوده و از نظر ژنوتیپ مکان ژنی خودسازگار *S-RNase*، آلل *S<sub>3</sub>* را دارا بودند. بنابراین، می‌توان نمونه‌های مذکور را هیبریدی از واریته 'Niedzwetzkyana' دانست. ممکن است گوشت قرمزی در یکی از ژنوتیپ‌های مورد بررسی که برای ناحیه پیشبری *R<sub>1</sub>R<sub>1</sub>* بود، مربوط به مکان ژنی پیوسته با آلل *S<sub>3</sub>* مکان ژنی *S-RNase* باشد. استفاده از این ژنوتیپ‌های گوشت قرمز برای اصلاح میوه‌هایی با آنتوسیانین بالا توصیه می‌گردد.

واژه‌های کلیدی: آنتوسیانین، سیب گوشت قرمز، ناحیه پیشبری ژن *MdMYB10*، *S-RNase*

### مقدمه

قرمزتر دارای غلظت بیشتر آنتوسیانین هستند (۱۲). هم چنین، فعالیت‌های آنتی‌اکسیدانی و اهمیت آنتوسیانین‌های موجود در میوه‌های مختلف و سبزیجات برای سلامتی باعث شده که آنتوسیانین‌ها به عنوان دارو در بسیاری از کشورها پذیرفته شوند (۱۳) و (۱۴).

نوع، میزان و محتوای آنتوسیانین‌ها بسته به نوع آنزیم‌ها، ژن‌ها (ژن‌های بیوستتزی و ژن‌های ساختاری)، عوامل رونویسی موثر بر مسیر بیوستتزی و شرایط محیطی متغیر می‌باشد (۵، ۸، ۹، ۱۱، ۲۲ و ۳۰). بیان هماهنگ این آنزیم‌ها بوسیله عامل رونویسی *MYB* کنترل می‌شود (۱ و ۲۱). عوامل رونویسی *MYB* حاوی یک تا سه واحد تکرار (*R1 - R2 - R3*) در دامنه‌ی متصل شونده به DNA (*R3MYB*) با یک تکرار، *R2R3MYB* با دو تکرار و *R1R2R3MYB* با سه تکرار) می‌باشند (۱۶). عامل رونویسی *R2R3MYB* در بیوستتزی آنتوسیانین میوه سیب نقش دارد. مکان ژنی این عامل رونویسی، با

سیب گوشت قرمز (*Malus spp.*) یکی از ژنوتیپ‌های کمیاب سیب است که رنگ قرمز گوشت آن، بدلیل مقدار بالای آنتوسیانین در کورتکس می‌باشد و همین امر سبب تمایز آن از سیب‌های معمولی و ایجاد ظاهر جذاب آن شده است (۳۴). آنتوسیانین‌ها به عنوان گروه بسیار مهمی از فلاونوئیدها عامل ایجاد فنوتیپ رنگ قرمز در میوه سیب هستند. تجمع آنتوسیانین در گوشت میوه سیب، ویژگی جدیدی برای سیب در برنامه‌های اصلاح نژادی و قابلیت بازاریابی ایجاد می‌کند (۲۰). مطالعات اخیر نشان داده است که سیب‌های با رنگ

۱ و ۲ - به ترتیب فارغ‌التحصیل کارشناسی ارشد و دانشیار، گروه علوم باغبانی، دانشکده کشاورزی، دانشگاه تبریز، تبریز، ایران

\* - نویسنده مسئول: (Email: mahna@tabrizu.ac.ir)

DOI: 10.22067/JHS.2021.60821.0

نام‌های مختلف *MYB1*، *MYBA* و *MYB10* نامگذاری شده است که به ترتیب مسئول رنگ قرمز پوست و گوشت میوه سیب هستند (۲، ۷ و ۳۱). بنابراین تغییرات اندک در بیان پروتئین‌های *MYB* روی فنوتیپ گیاه موثر است (۲۷).

بررسی آلوتیپ (تیپ یا نوع آل‌های موجود در یک مکان ژنی در ژنوتیپ‌های یک جمعیت یا گروهی از ژنوتیپ‌ها) مکان‌های ژنی *S-RNase* و ناحیه پیشبر ژن *MdMYB10* در مطالعات متعددی بر روی سیب‌های با آنتوسیانین بالا بررسی شده است (۳، ۵، ۷ و ۳۳). ولی تا به حال در مورد ژنوتیپ‌های بومی موجود در ایران گزارشی در دست نیست. ناحیه پیشبر (راه‌انداز) ژن *MdMYB10* از نظر توالی نوکلئوتیدی دو نوع می‌باشد: در برخی از ژنوتیپ‌ها، یک ناحیه ریزماهورهای ۲۳ جفت بازی، ۵ بار تکرار شده است (آل *R6*)؛ در حالی که در دیگر ژنوتیپ‌ها این توالی نوکلئوتیدی ریزماهورهای وجود ندارد (آل *R1*). در اغلب موارد، آل *R6* در سیب‌های گوشت قرمز مشتق از واریته 'Niedzwetzkyana' و خود این واریته وجود دارد که یک فرم طبیعی *Malus sieversii* بوده و بومی آسیای مرکزی است (۶). بر اساس نتایج بدست آمده از گزارش‌های قبلی، طول ناحیه پیشبری *R6* در ژن *MYB10* حدود ۴۹۶ جفت باز، طول ناحیه پیشبری *R1* در همان ژن حدود ۳۹۲ جفت باز (۶) و طول قطعه ژن *S3-RNase* حدود ۵۰۰ جفت باز (۳) است.

در بررسی‌های اخیر بین بیوسنتز آنتوسیانین و سیستم خودناسازگاری در سیب پیوستگی دیده شده است. سیب دارای سیستم خودناسازگاری گامتوفیتی است که بوسیله یک مکان ژنی *S* چند آلی کنترل می‌شود (۱۰ و ۱۷). گلیکوپروتئین مادگی با فعالیت ریونوکلئازی (*S-RNase*) که بوسیله مکان ژنی *S* رمزگذاری می‌شود با استفاده از روش مولکولی شناسایی شده است (۴) که باعث خودناسازگاری می‌شود (۲۴ و ۲۶). در سیستم خودناسازگاری گامتوفیتی رشد لوله‌گردد بوسیله یکسری آل  $S_1, S_2, S_3, \dots, S_n$  کنترل می‌شود. بررسی‌ها نشان داده‌اند که حضور آل *S3* در برخی واریته‌های سیب مثل *Pink Pearl* و *JPP35* موجب بروز فنوتیپ

گوشت قرمزی در میوه سیب شده است حتی تلاقی این گیاهان با سایر گیاهان باعث فنوتیپ رنگ قرمز گوشت میوه می‌باشد. با توجه به اینکه این آل در بسیاری از ژنوتیپ‌ها باعث بیوسنتز آنتوسیانین نمی‌شود. بنابراین براساس گزارش‌های قبلی، یک مکان ژنی پیوسته با آل *S3* موجب بیوسنتز آنتوسیانین در برخی سیب‌ها می‌شود (۲۸) که سازوکار مولکولی آن تا حد زیادی ناشناخته است.

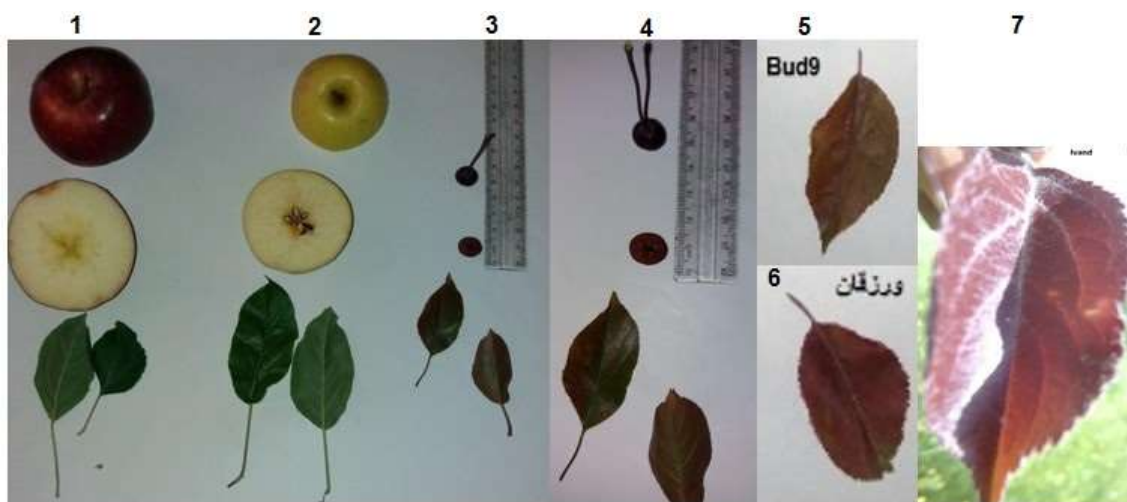
سیب یک میوه تجاری با عمر پس از برداشت طولانی مدت می‌باشد و یکی از اهداف برنامه اصلاحی، معرفی سیب‌های گوشت قرمز در ارقام تجاری با کیفیت بالا است. توسعه ارقام با پتانسیل تجاری می‌تواند با استفاده از نشانگرها تسریع یابد. با توجه به اهمیت آل *S3* مکان ژنی *S-RNase* و ناحیه پیشبری ژن *MdMYB10* در تنظیم مسیر بیوسنتز آنتوسیانین، این مطالعه به منظور شناسایی و تعیین آلوتیپ ژن *S-RNase* و ناحیه پیشبر ژن *MdMYB10* در ۹ ژنوتیپ سیب و برای اولین بار برای ژنوتیپ‌های بومی ورزقان، میان‌دوآب، خلعت پوشان، ایوند و یک نمونه کشت بافتی از ژنوتیپ دیگری از میان‌دوآب انجام گردید.

## مواد و روش‌ها

**مواد گیاهی:** نمونه‌های برگ‌ی جوان کاملاً توسعه یافته از ژنوتیپ‌های گوشت سفید، مانند *Red Delicious*، *Granny Smith*، *Golden Delicious* (نهالستان آقای حسین تقی‌زاده واقع در شهر آذرشهر) و سیب‌های محلی گوشت قرمز مناطق میان‌دوآب (سازمان تحقیقات آموزش و ترویج کشاورزی شهید باکری میان‌دوآب)، ورزقان، گوشت قرمز *Bud9* و *ماکامیک* (ایستگاه تحقیقاتی خلعت پوشان دانشگاه تبریز) و یک نمونه کشت بافتی (موجود در آزمایشگاه بیوتکنولوژی گیاهی دانشگاه تبریز) از درخت دیگری از سیب محلی میان‌دوآب و یک سیب محلی با شاخه و برگ قرمز از باغات ایوند (نزدیک تبریز) تهیه و در نیتروژن مایع منجمد و تا زمان استفاده در دمای ۸۰- درجه سانتی‌گراد نگهداری شدند.

جدول ۱- صفات مورفولوژیکی ژنوتیپ‌های سیب مورد استفاده در این تحقیق  
Table 1- Morphological traits (color) of *Malus* genotypes used in this study

Genotype ژنوتیپ	<i>In vitro</i> sample نمونه درون	Granny Smith گرانی اسمیت	Red Delicious رد دلیشز	Golden Delicious گلدن دلیشز	Bud9 باد	Miandoab میان‌دوآب	Varzighan ورزقان	Khalat-poushan خلعت پوشان	Ivand ایوند
Color رنگ	شیشه‌ای								
Fruit flesh گوشت میوه	Unknown نامعلوم	White سفید	White سفید	White سفید	Red قرمز	Red قرمز	Red قرمز	Red قرمز	Red قرمز
Fruit skin پوست میوه	Unknown نامعلوم	Green سبز	Red قرمز	Yellow زرد	Red قرمز	Red قرمز	Red قرمز	Red قرمز	Red قرمز
Shoot شاخساره	Red قرمز	Green سبز	Green سبز	Green سبز	Red قرمز	Red قرمز	Red قرمز	Red قرمز	Red قرمز



شکل ۱- نمونه‌های برگ و میوه ژنوتیپ‌های مورد استفاده در این تحقیق. ۱) رد دلشیز، ۲) گلدن دلشیز، ۳) میاندوآب، ۴) ماکامیک، ۵) Bud9، ۶) ورزقان و ۷) ایوند

Figure 1- Leaf and fruit samples of the genotypes used in this research. 1) Red Delicious, 2) Golden Delicious, 3) Miandoab, 4) Makamik (Khalatpoushan), 5) Bud9, 6) Varzighan, and 7) Ivand



شکل ۲- تصویری از درختان بعضی از ژنوتیپ‌های مورد استفاده در این تحقیق. ۱) میاندوآب، ۲) ماکامیک، ۳) ورزقان، ۴) Bud9

Figure 2- The pictures of the genotype trees used in this research. 1) Miandoab, 2) Makamik (Khalatpoushan), 3) Varzighan and 4) Bud9

5'-CAAACGATAACAAATCTTAC-3' و آغازگر معکوس 5'-TATATGGAAATCACCATTCG-3' و با شرایط PCR بروثرت (۳) و سکیده و همکاران (۲۸) برای تعیین آل *S<sub>3</sub>-RNase* تکثیر گردید. سپس قطعات تکثیر شده توسط الکتروفورز ژل آغازز یک درصد مورد ارزیابی قرار گرفتند.

#### شناسایی آل‌های ناحیه پیشبر فرادست ژن *MdMYB10* و آل *S<sub>3</sub>-RNase*

بر اساس نتایج بدست آمده از گزارش‌های قبلی، طول ناحیه پرموتری پیشبری *R<sub>6</sub>* در ژن *MYB10* حدود ۴۹۶ جفت باز، طول ناحیه پرموتری پیشبری *R<sub>1</sub>* در همان ژن حدود ۳۹۲ جفت باز (۶) و طول قطعه آل *S<sub>3</sub>-RNase* حدود ۵۰۰ جفت باز (۳) است که ملاک شناسایی آل‌ها در این تحقیق قرار گرفتند.

#### تکثیر ناحیه پیشبر ژن *MdMYB10* بوسیله واکنش زنجیره‌ای پلی‌مرز (PCR)

برای استفاده از توالی تکراری ریزماهواره که چند شکلی بالایی دارند بطور معمول از روش واکنش زنجیره‌ای پلی‌مرز (PCR) استفاده می‌شود. برای استخراج DNA ژنومی از بافر CTAB دو درصد و از نمونه‌های برگ جوان کاملاً توسعه یافته و براساس روش لودهی و همکاران (۱۹) استفاده شد. برای تکثیر ناحیه پیشبر ژن *MdMYB10* از آغازگر مستقیم 5'-GGAGGGGAATGAAGAAGAGG-3' و آغازگر معکوس 5'-TCCACAGAAGCAAACACTGAC-3' و شرایط PCR ارائه شده توسط اسپلی و همکاران (۶) و فان ناکر و همکاران (۳۳) استفاده شد و با استفاده از ابزار BLAST در سایت NCBI و نرم‌افزار Oligo 7.0 صحت توالی آغازگرها تایید گردید.

#### تکثیر آل *S<sub>3</sub>-RNase* بوسیله واکنش زنجیره‌ای پلی‌مرز

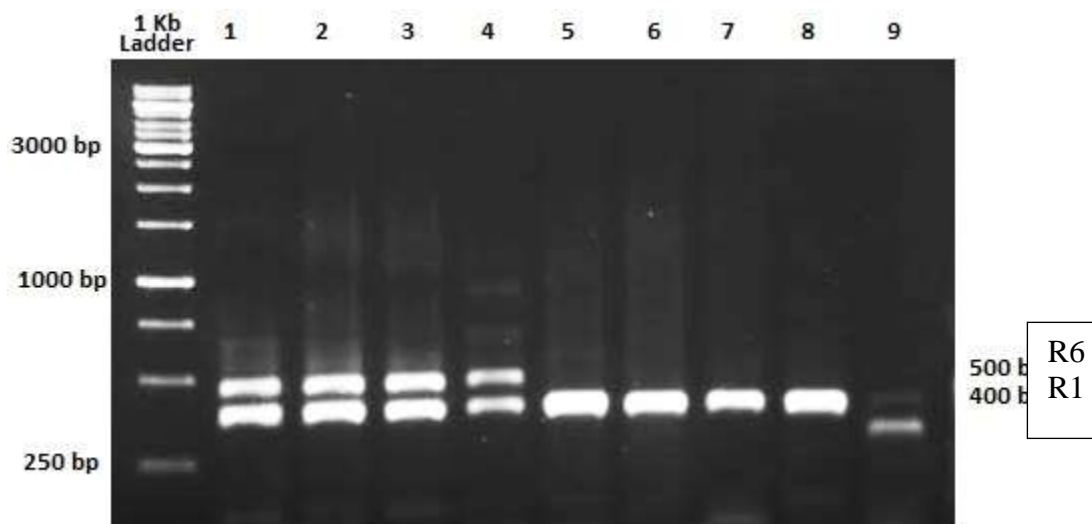
DNA کل استخراج گردیده با استفاده از آغازگر مستقیم 5'-

## نتایج و بحث

### تکثیر ناحیه پیشبری ژن *MdMYB10*

الکتروفورز محصولات واکنش زنجیره‌ای پلی‌مراز حاصل از هفت بار تکرار برای ۹ ژنوتیپ از گیاهان بومی و تجاری با آغازگرهای اختصاصی ناحیه پیشبری ژن *MdMYB10* (شکل ۳)، برای نمونه‌های Bud9، خلعت پوشان، ورزقان و میان‌دوآب دو باند که یکی در محدوده ۵۰۰ و دیگری در محدوده ۴۰۰ جفت بازی و برای نمونه‌های Red، Granny Smith، Golden Delicious، Delicous و گیاهچه‌های کشت بافتی موجود در آزمایشگاه بیوتکنولوژی گیاهی فقط یک باند در محدوده ۴۰۰ جفت بازی را نشان داد. با این که نمونه ایوند هم دو باند نشان داد ولی این باندها، یکی در محدوده ۴۰۰ و دیگری با طولی بین باندهای ۴۰۰ و ۲۵۰

جفت باز مشاهده شد (شکل ۳). با توجه به نتیجه بدست آمده، ژنوتیپ‌های Bud9، خلعت پوشان، ورزقان، میان‌دوآب هتروزایگوت و ژنوتیپ‌های Red، Granny Smith، Golden Delicious، Delicous و گیاهچه‌های کشت بافتی هموزایگوت بودند (شکل ۳). بدین توضیح که سب‌های با آنتوسیانین بالا در میوه دارای حداقل یک آلل  $R_6$  در ناحیه پیشبری ژن *MdMYB10* بودند. این نتیجه با مشاهدات فان ناگر و همکاران (۳۳) مطابقت داشت. ژنوتیپ نمونه کشت بافتی  $R_1R_1$  بود. در حالی که انتظار می‌رفت این ژنوتیپ نیز دارای حداقل یک آلل  $R_6$  باشد چون گیاه مادری این نمونه درون شیشه‌ای حاوی شاخ و برگ و میوه گوشت قرمز بود، به نظر می‌رسد گوشت قرمزی در این نمونه مربوط به مکان ژنی پیوسته با آلل  $S_3$ - $RNase$  باشد.



شکل ۳- الکتروفورز محصول PCR تکثیر ناحیه پیشبری ژن *MdMYB10* در ژنوتیپ‌های سیب بر روی ژل آگارز یک درصد؛ از چپ به

راست: (۱) Ladder O'Gene Ruler™ (1 Kb DNA Ladder) (Fermentas) (کنترل مثبت برای  $R_6$ )؛ (۲) ورزقان؛ (۳) میان‌دوآب؛ (۴)

ماکامیک (خلعت پوشان)؛ (۵) Golden Delicious؛ (۶) Granny Smith (کنترل برای  $R_1R_1$ )؛ (۷) نمونه کشت بافتی؛ (۸) Red Delicious؛ (۹) ایوند

Figure 3- Electrophoresis of PCR products of amplification of the *MdMYB10* Promoter Region from apple genotypes on 1 % agarose gel. From the left to the right: Ladder (O' Gene Ruler™ 1 Kb DNA Ladder) (Fermentas). 1) Bud9 (positive control for  $R_6$ ), 2) Varzighan, 3) Miandoab, 4) Makamik (Khalatpoushan), 5) Golden Delicious, 6) Granny Smith (control for  $R_1R_1$ ), 7) sample of tissue culture, 8) Red Delicious, 9) Ivand.

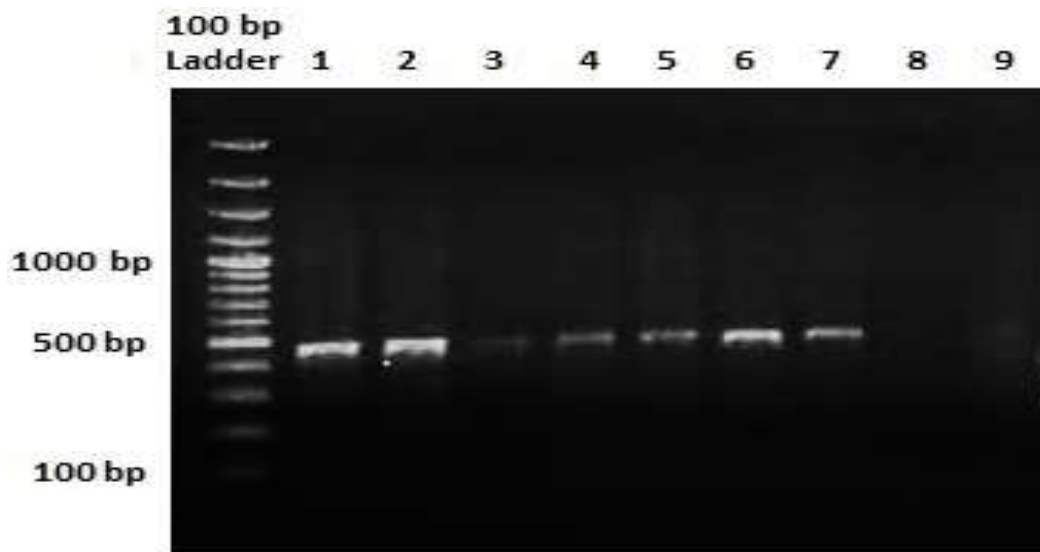
بازی تشکیل شده بود را علت اصلی قرمز بودن میوه معرفی کرده بودند که این نتایج، با نتایج حاصل از تحقیق حاضر مطابقت نداشت. از آنجایی که کنترل مثبت این تحقیق (گیاهانی که قبلاً از نظر داشتن نوع آلل ناحیه پروموتوری ژن *MdMYB10* بررسی شده‌اند)، نتایج قبلی را همان‌طور که در شکل ۳ مشاهده می‌شود تایید کردند، ژنوتیپ ناحیه پروموتوری ژن *MdMYB10* در نمونه‌های برگی درختان سیب محلی ورزقان، میان‌دوآب، ماکامیک (خلعت پوشان) حاوی آلل  $R_1R_6$  و نمونه کشت بافتی موجود در آزمایشگاه بیوتکنولوژی حاوی آلل  $R_1R_1$

الکتروفورز محصولات واکنش زنجیره‌ای پلی‌مراز ناحیه پروموتوری ژن *MdMYB10* در مطالعه اسپلی (۶) و همکاران و لین وانگ و همکاران (۱۸) برای Granny Smith یک باند در محدوده ۴۰۰ جفت بازی نشان داد که با نتایج حاصل از این تحقیق تطبیق داشت و مطالعه‌ای که توسط محمودی و همکاران (۲۰) در این ناحیه صورت گرفت، برای ارقام Red، Granny Smith، Golden Delicious و Delicous یک باند در محدوده ۳۱۲ جفت بازی و برای Bud9 سه باند نشان داد که این گروه تحقیقی، باندی که در محدوده ۳۱۲ جفت

### آلل $S_3$ مکان ژنی *S-RNase*

الکتروفورز محصولات واکنش زنجیره‌ای پلی‌مراز با آغازگرهای اختصاصی آلل *S<sub>3</sub>-RNase* (شکل ۴)، برای ژنوتیپ‌های ماکامیک (خلعت پوشان)، ورزقان، میاندوآب، Golden Delicious، Granny Smith، Bud9 و نمونه کشت بافتی یک باند در محدوده ۵۰۰ جفت بازی نشان داد و در نمونه‌های برگی درختان سیب محلی ایوند و رقم Red Delicious هیچ بانندی در محصولات واکنش زنجیره‌ای پلی‌مراز مشاهده نشد.

می‌باشد. برای نمونه‌های برگی سیب محلی ایوند یکی از آلل‌ها  $R_1$  بود ولی آلل دیگری نیز مشاهده شد که در هیچ یک از مطالعات قبلی گزارش نشده است. بنابراین، رنگ قرمز گوشت در میوه درختان سیب مناطق میاندوآب، ورزقان و خلعت پوشان به وجود آلل  $R_6$  در ناحیه پروموتوری ژن *MdMYB10* مرتبط است، همان‌طور که آلل  $R_6$  *MdMYB10* علت رنگ قرمز گوشت در میوه 'Red Field' (۶) و 'Maypole' (۲۹) است.



شکل ۴- الکتروفورز محصول PCR آلل  $S_3$  مکان ژنی *S-RNase* بر روی ژل آگارز ۱٪. ۱) Ladder (O'GeneRuler™ 100 plus) (Fermentas). ۲) Golden Delicious (کنترل مثبت)؛ ۳) ماکامیک (خلعت پوشان)؛ ۴) میاندوآب؛ ۵) ورزقان؛ ۶) Granny Smith (Fermentas) (کنترل مثبت)؛ ۷) نمونه کشت بافتی؛ ۸) ایوند؛ ۹) Red Delicious (کنترل منفی)

Figure 4- Electrophoresis of polymerase chain reaction products on 1% agarose gel for *S<sub>3</sub>-RNase* allele Ladder (O' Gene Ruler™ 100 plus) (Fermentas). 1) Granny Smith (positive control), 2) Golden Delicious (positive control), 3) Makamik (Khalatpoushan), 4) Miandoab, 5) Varzeghan, 6) Bud9, 7) Tissue culture sample, 8) Ivand, 9) Red Delicious (negative control)

میاندوآب و نمونه کشت بافتی از نوع *S<sub>3</sub>-RNase* می‌باشد. بنابراین، نتایج حاصل از این تحقیق با نتایج قبلی مطابقت دارد. با توجه به پیوستگی که بین صفت رنگ قرمز گوشت در میوه 'Pink Pearl' (که حاوی آلل *MdMYB10*  $R_1$ ) با آلل *S<sub>3</sub>-RNase* وجود دارد (۲۸)، رنگ قرمز گوشت در نمونه کشت بافتی از یک ژنوتیپ سیب بومی میاندوآب حاوی سیب گوشت قرمز، به وجود همین آلل نسبت داده می‌شود. همین‌طور رنگ قرمز گوشت در میوه نتایج حاصل از 'JPP35' × 'Shinano Sweet' و 'JPP35' × 'Orin' به وجود آلل *S<sub>3</sub>-RNase* نسبت داده شد (۳۲).

قبلاً گزارش شده است که ژنوتیپ مکان ژنی *S-RNase* در ارقام Golden Delicious، Granny Smith و Red Delicious به ترتیب  $S_3S_3$ ،  $S_3S_{23}$  و  $S_9S_{19}$  می‌باشد (۱۵). به همین علت، دو رقم اول به عنوان کنترل مثبت و سومی به عنوان کنترل منفی برای حضور آلل  $S_3$  در این آزمایش وارد شدند. همچنین پس از آنها، سکورای و همکاران (۲۳) ژنوتیپ مکان ژنی  $S_3$  را در رقم Golden Delicious با استفاده از تکنیک واکنش زنجیره‌ای پلی‌مراز، بررسی کردند که همین نتیجه تأیید شد. پژوهش حاضر نیز نشان داد که یکی از آلل‌های خودناسازگاری در ارقام Golden Delicious، Granny Smith، Bud9، میاندوآب، ورزقان، ماکامیک (خلعت پوشان)،

جدول ۲- نوع آل‌های ناحیه پیشبری ژن *MdMYB10* و *S-RNase* در نمونه‌های مورد استفاده در تحقیق

Table 2- Allelo-types of promoter region of *MdMYB10* gene and *S-RNase* locus of the samples used in this study.

Genotype ژنوتیپ Locus مکان ژن	<i>In vitro</i> sample نمونه درون شیشه ای	Granny Smith گرانی اسمیت	Red Delicious رد دلشیز	Golden Delicious گلدن دلشیز	Bud9 باد۹	Miandoab میاندوآب	Varzighan ورزقان	Makamik (Khalatpoushan) خلعت پوشان	Ivand ایوند
<i>MdMYB10</i> Promoter پیشبر ژن	$R_1$	$R_1$	$R_1$	$R_1$	$R_1R_6$	$R_1R_6$	$R_1R_6$	$R_1R_6$	$R_1 R_6$
<i>MdMYB10</i> <i>S-RNase</i> مکان ژنی <i>S-RNase</i>	$S_3$ - <i>RNase</i>	$S_3$ - <i>RNase</i>	$S_9S_{19}$ (not seen)	$S_3$ - <i>RNase</i>	$S_3$ - <i>RNase</i>	$S_3$ - <i>RNase</i>	$S_3$ - <i>RNase</i>	$S_3$ - <i>RNase</i>	not seen مشاهده نشد

آمده است، در ناحیه پیشبری  $R_1R_1$  ولی در مکان ژنی *S-RNase* دارای آل  $S_3$  بود و احتمال داده می‌شود قرمز بودن آن در ارتباط با مکان ژنی پیوسته با  $S_3$  باشد. تایید این امر نیازمند مطالعات ژنتیکی بیشتری است. همچنین، با توجه به نبود آل  $R_6$  در سیب محلی ایوند و قرمز بودن شاخ و برگ آن، پیشنهاد می‌شود نوع آل  $R$  و سایر ژن‌های درگیر در بیوسنتز آنتوسیانین در آن شناسایی و توالی‌یابی شود، هر چند که در این تحقیق، باند بسیار ضعیفی در محل باند  $S_3$  مشاهده گردید و احتمال ارتباط رنگ آن با مکان ژنی پیوسته با  $S_3$  نیز وجود دارد.

احتمالا همه وارته‌های گوشت قرمز مورد آزمایش که دارای آل  $R_6$  در ناحیه پیشبری ژن *MdMYB10* خود بودند، از یک جد مشترک این آل را به ارث برده اند که به احتمال زیاد *Malus pumila* var. Niedzwetzkyana بوده است. این در حالی است که در برخی از وارته‌ها یک مکان ژنی پیوسته با آل *S<sub>3</sub>-RNase* می‌تواند مسئول فنوتیپ قرمز گوشت میوه سیب باشد. در تحقیق سکیدو و همکاران (۲۸) میوه های گوشت قرمز و سفید تواما مورد بررسی قرار گرفتند و پیوستگی بین آل  $S_3$  و قرمز بودن گوشت در 'Pink Pearl' تایید شد. در تحقیق حاضر نیز نمونه کشت بافتی که از یک درخت سیب با شاخ و برگ و میوه قرمز بدست

## منابع

- Allan A.C., Hellens R.P., and Laing W.A. 2008. MYB transcription factors that colour our fruit. Trends in Plant Science 13(3): 99-102.
- Ban Y., Honda C., Hatsuyama Y., Igarashi M., Bessho H., and Moriguchi T. 2007. Isolation and functional analysis of a MYB transcription factor gene that is a key regulator for the development of red coloration in apple skin. Plant and Cell Physiology 48(7): 958-970.
- Broothaerts W. 2003. New findings in apple S-genotype analysis resolve previous confusion and request the re-numbering of some S-alleles. Theoretical and Applied Genetics 106(4): 703-714.
- Broothaerts W., Janssens G.A., Proost P., and Broekaert W.F. 1995. cDNA cloning and molecular analysis of two self-incompatibility alleles from apple. Plant Molecular Biology 27(3): 499-511.
- Chagné D., Carlisle C.M., Blond C., Volz R.K., Whitworth C.J., Oraguzie N.C., Crowhurst R.N., Allan A.C., Espley R.V., and Hellens R.P. 2007. Mapping a candidate gene (*MdMYB10*) for red flesh and foliage colour in apple. BMC Genomics 8(1): 212.
- Espley R.V., Brendolise C., Chagné D., Kutty-Amma S., Green S., Volz R., Putterill J., Schouten H.J., Gardiner S.E., and Hellens R.P. 2009. Multiple repeats of a promoter segment causes transcription factor autoregulation in red apples. The Plant Cell 21(1): 168-183.
- Espley R.V., Hellens R.P., Putterill J., Stevenson D.E., Kutty-Amma S., and Allan A.C. 2007. Red colouration in apple fruit is due to the activity of the MYB transcription factor, *MdMYB10*. The Plant Journal 49(3): 414-427.
- FARAGHER J.D. 1983. Temperature regulation of anthocyanin accumulation in apple skin. Journal of Experimental Botany 34(10): 1291-1298.
- Forkmann G. 1991. Flavonoids as flower pigments: the formation of the natural spectrum and its extension by genetic engineering. Plant Breeding 106(1): 1-26.
- Frankel R., and Galun E. 2012. Pollination mechanisms, reproduction and plant breeding. Vol. 2. Springer Science & Business Media.
- Holton T.A., and Cornish E.C. 1995. Genetics and biochemistry of anthocyanin biosynthesis. The Plant Cell 7(7):

- 1071.
12. Honda C., Kotoda N., Wada M., Kondo S., Kobayashi S., Soejima J., Zhang Z., Tsuda T., and Moriguchi T. 2002. Anthocyanin biosynthetic genes are coordinately expressed during red coloration in apple skin. *Plant Physiology and Biochemistry* 40(11): 955-962.
  13. Huang D.-J., Lin C.-D., Chen H.-J., and Lin Y.-H. 2004. Antioxidant and antiproliferative activities of sweet potato (*Ipomoea batatas* [L.] Lam 'Tainong 57') constituents. *Bot. Bull. Acad. Sin.* 45: 179-186.
  14. Iversen C.K. 1999. Black currant nectar: effect of processing and storage on anthocyanin and ascorbic acid content. *Journal of Food Science* 64(1): 37-41.
  15. Janssens G., Goderis I., Broekaert W., and Broothaerts W. 1995. A molecular method for S-allele identification in apple based on allele-specific PCR. *Theoretical and Applied Genetics* 91(4): 691-698.
  16. Jin H., and Martin C. 1999. Multifunctionality and diversity within the plant MYB-gene family. *Plant Molecular Biology* 41(5): 577-585.
  17. Kobel F. 1939. Weitere Untersuchungen über die Befruchtungsverhältnisse der Apfelund Birnsorten. *Landw. Jahrb. Schweiz* 53: 160-191.
  18. Lin-Wang K., Bolitho K., Grafton K., Kortstee A., Karunairetnam S., McGhie T.K., Espley R.V., Hellens R.P., and Allan A.C. 2010. An R2R3 MYB transcription factor associated with regulation of the anthocyanin biosynthetic pathway in Rosaceae. *BMC Plant Biology* 10(1): 50.
  19. Lodhi M.A., Ye G.-N., Weeden N.F., and Reisch B.I. 1994. A simple and efficient method for DNA extraction from grapevine cultivars and *Vitis* species. *Plant Molecular Biology Reporter* 12(1): 6-13.
  20. Mahmoudi E., MOHAMMAD S.B., Yadollahi A., and Hosseini E. 2012. Independence of color intensity variation in red flesh apples from the number of repeat units in promoter region of the MdMYB10 gene as an allele to MdMYB1 and MdMYBA.
  21. Martin C., and Paz-Ares J. 1997. MYB transcription factors in plants. *Trends in Genetics* 13(2): 67-73.
  22. Mol J., Stuitje A., Gerats A., van der Krol A., and Jorgensen R. 1989. Saying it with genes: molecular flower breeding. *Trends in Biotechnology* 7(6): 148-153.
  23. Sakurai K., Brown S.K., and Weeden N.F. 1997. Determining the self-incompatibility alleles of Japanese apple cultivars. *HortScience* 32(7): 1258-1259.
  24. Sassa H., Hirano H., and Ikehashi H. 1992. Self-incompatibility-related RNases in styles of Japanese pear (*Pyrus serotina* Rehd.). *Plant and Cell Physiology* 33(6): 811-814.
  25. Sassa H., Hirano H., and Ikehashi H. 1993. Identification and characterization of stylar glycoproteins associated with self-incompatibility genes of Japanese pear, *Pyrus serotina* Rehd. *Molecular and General Genetics MGG* 241(1-2): 17-25.
  26. Sassa H., Hirano H., Nishio T., and Koba T. 1997. Style-specific self-compatible mutation caused by deletion of the S-RNase gene in Japanese pear (*Pyrus serotina*). *The Plant Journal* 12(1): 223-227.
  27. Schwinn K., Venail J., Shang Y., Mackay S., Alm V., Butelli E., Oyama R., Bailey P., Davies K., and Martin C. 2006. A small family of MYB-regulatory genes controls floral pigmentation intensity and patterning in the genus *Antirrhinum*. *The Plant Cell* 18(4): 831-851.
  28. Sekido K., Hayashi Y., Yamada K., Shiratake K., Matsumoto S., Maejima T., and Komatsu H. 2010a. Efficient breeding system for red-fleshed apple based on linkage with S3-RNase allele in 'Pink Pearl'. *HortScience* 45(4): 534-537.
  29. Sekido K., Yamada K., Shiratake K., Fukui H., and Matsumoto S. 2010b. MdMYB alleles responsible for apple skin and flesh color. *Current Topics in Plant Biology Volume 11*. 17-21.
  30. Siegelman H., and Hendricks S. 1958. Photocontrol of anthocyanin synthesis in apple skin. *Plant Physiology* 33(3): 185.
  31. Takos A.M., Jaffé F.W., Jacob S.R., Bogs J., Robinson S.P., and Walker A.R. 2006. Light-induced expression of a MYB gene regulates anthocyanin biosynthesis in red apples. *Plant Physiology* 142(3): 1216-1232.
  32. Umemura H., Shiratake K., Matsumoto S., Maejima T., and Komatsu H. 2011. Practical breeding of red-fleshed apple: cultivar combination for efficient red-fleshed progeny production. *HortScience* 46(8): 1098-1101.
  33. van Nocker S., Berry G., Najdowski J., Michelutti R., Luffman M., Forsline P., Alsmairat N., Beaudry R., Nair M.G., and Ordidge M. 2012. Genetic diversity of red-fleshed apples (*Malus*). *Euphytica* 185(2): 281-293.
  34. Walker A.R., Lee E., Bogs J., McDavid D.A., Thomas M.R., and Robinson S.P. 2007. White grapes arose through the mutation of two similar and adjacent regulatory genes. *The Plant Journal* 49(5): 772-785.



## Allelotyping of *S-RNase* Gene and Promoter Region of *MdMYB10* Gene in some Genotypes of Apple (*Malus* spp.)

M. Vakili-Gartavol<sup>1</sup>- N. Mahna<sup>2\*</sup>

Received: 05-12-2019

Accepted: 01-05-2021

**Introduction:** Red-fleshed apples (*Malus* spp.) are one of the rarest apple genotypes in the world and the accumulation of a high amount of anthocyanin, is the main cause of the redness of their fruit flesh. Anthocyanins are among important flavonoids and due to antioxidative activity, scavenge reactive oxygen species, and hence, are considered as one of the health-promoting nutraceuticals in the human diet. The amount of anthocyanins depends upon the expression of the transcription factors that are regulating their metabolic pathway. Among these transcription factors are the members of the *MYB* gene family. *MdMYB10*, belonging to this gene family in apple, has been shown to have a significant role in controlling the amount of anthocyanin production and redness in fruit flesh. The expression of *MdMYB10* and consequently, the production of MdMYB10 proteins has positive feedback on its own expression. This happens due to a 23 bp microsatellite tandemly repeated 5 times in its promoter region (called allele  $R_6$ ) which is a target sequence for MdMYB10 acting as a positive regulator. This structure invokes the overexpression of *MdMYB10* which in turn increases the expression of anthocyanin producing enzymes and finally the amount of anthocyanin in all organs of the apple plant including fruit flesh. The apple *Malus pumila* var. Niedzwetzkyana and its derivatives have been reported to have such a structure in the promoter region of the *MdMYB10* gene. The length of the  $R_6$  allele is 496 bp, while the  $R_1$  allele is only 392 bp long.

However, in some cases, a locus linked to the  $S_3$  allele of the *S-RNase* gene has been proposed to be responsible for the redness of the fruit flesh in some genotypes. It has been reported that even the offspring of these plants have had red-fleshed fruits.

**Materials and Methods:** To study the mechanism of the redness of the fruit flesh in some local genotypes, genomic DNA was extracted using the CTAB method from the leaf samples obtained from 9 red- and white-fleshed apple genotypes including Red Delicious, Golden Delicious, Miandoab, Makamik (Khalatpoushan), Bud 9, Varzighan, and Ivand. Then the allelotype of the promoter region of the *MdMYB10* gene as well as the existence of  $S_3$  allele at *S-RNase* locus was investigated using polymerase chain reaction. For amplification of the target sequences, *MdMYB10* and  $S_3$  specific primers were exploited and 1% agarose gel electrophoresis of the amplified fragments was used for observing and scoring the bands. All steps were repeated seven times.

**Results and Discussion:** The results in this research showed that the white-fleshed genotypes (Red Delicious, Golden Delicious, and Granny Smith) were lacking any  $R_6$  allele at the promoter region of the *MdMYB10* gene and were  $R_1R_1$  homozygotes, while the red-fleshed genotypes (Miandoab, Makamik (Khalatpoushan), Bud 9, and Varzighan) had at least one  $R_6$  allele at the mentioned promoter region as well as a  $S_3$  allele in the self-incompatibility locus *S-RNase*. These results were in accordance with the previous reports. Therefore, these samples could be traced back to *Malus pumila* var. Niedzwetzkyana. Evaluating the *S-RNase* locus in these genotypes illustrated that Granny Smith (as positive control), Golden Delicious (as positive control), Makamik (Khalatpoushan), Miandoab, Varzeghan, Bud 9 and tissue culture sample, showing a band around 500 bp (smaller) had  $S_3$  allele, while for Ivand and Red Delicious (as negative control) no  $S_3$  band was obtained. For the tissue culture sample which was  $R_1R_1$  at the promoter region and  $S_3$  at *S-RNase* locus, it was postulated that flesh-redness may be due to the locus linked to the  $S_3$  allele. We also got an unknown  $R$  band for the Ivand genotype when analyzing for the *MdMYB10* promoter region. The sequencing of in the future studies, may help to unravel the mechanism by which shoot-redness happens in this genotype.

**Conclusion:** The development of highly potent and novel cultivars for the fast-evolving market is indispensable in the plant breeding field. In this way, breeding apple plant, as an important temperate fruit with a long postharvest life, for redness of fruit flesh can be considered as a noticeable case. We could confirm in this research that in the endemic, red-fleshed apples,  $R_6$  may be responsible for their high anthocyanin production. However, the  $S_3$ -*RNase*-linked locus should also be considered in marker-assisted breeding methods for this trait.

1 and 2- Master of Science and Associate Professor, Department of Horticultural Sciences, Faculty of Agriculture, University of Tabriz, Tabriz, Iran, respectively.

(\*- Corresponding Author Email: mahna@tabrizu.ac.ir)

DOI: 10.22067/JHS.2021.60821.0



Therefore, these red-fleshed genotypes are highly recommended to be employed in the national breeding programs for increasing the anthocyanin content of apple fruits.

**Keywords:** Anthocyanin, *MdMYB10* gene promoter, Red-fleshed apples, *S-RNase*